

**Угловые спектры  
вторичных  
фрагментов в  
«белых» звездах от  
ядер  $^{14}\text{N}$  с энергией  
2.1 А ГэВ**

**Станоева Р.Ж. (ИЯИЯЭ, София)**

- \* В данной работе представлен обзор экспериментальных наблюдений процессов фрагментации релятивистских ядер  $^{14}\text{N}$  (пластинки 11,12,13,14,15,16,18).
- \* Стопка слоев ядерной фотоэмulsionии была облучена пучком ядер  $^{14}\text{N}$  с импульсом 2.9АГэВ/с на нуклонроне ЛВЭ ОИЯИ. Слои имеют размер  $10 \times 20$  см<sup>2</sup>. При облучении пучок был направлен параллельно плоскости эмульсии вдоль ее длинной стороны.
- \* Просмотр слоев с целью поиска ядерных взаимодействий велся путем прослеживания вдоль следа на микроскопах типа МБИ-9 при увеличении 60x15x1.

# **Отбор событий типа «белая» звезда**

- \* Для угловых измерений производился отбор событий типа «белая» звезда в облучении ядрами  $^{14}\text{N}$
- \* Заряд определялся с помощью счёта  $\delta$ -электронов ( $100 \mu$ ).
- \* К настоящему времени набрана статистика из 540 взаимодействий ядер  $^{14}\text{N}$  с ядрами эмульсии на длине 70410,37мм. Таким образом, средний методический пробег на этих пластинах составляет 130,39 мм./событие. Из этих событий 25- «белые» звезды. Их распределение по зарядовой топологии представлено в таблице N 1 .

# Распределение по зарядовой топологии «белых» звезд при диссоциации ядер $^{14}\text{N}$ с энергией 2.1 А ГэВ

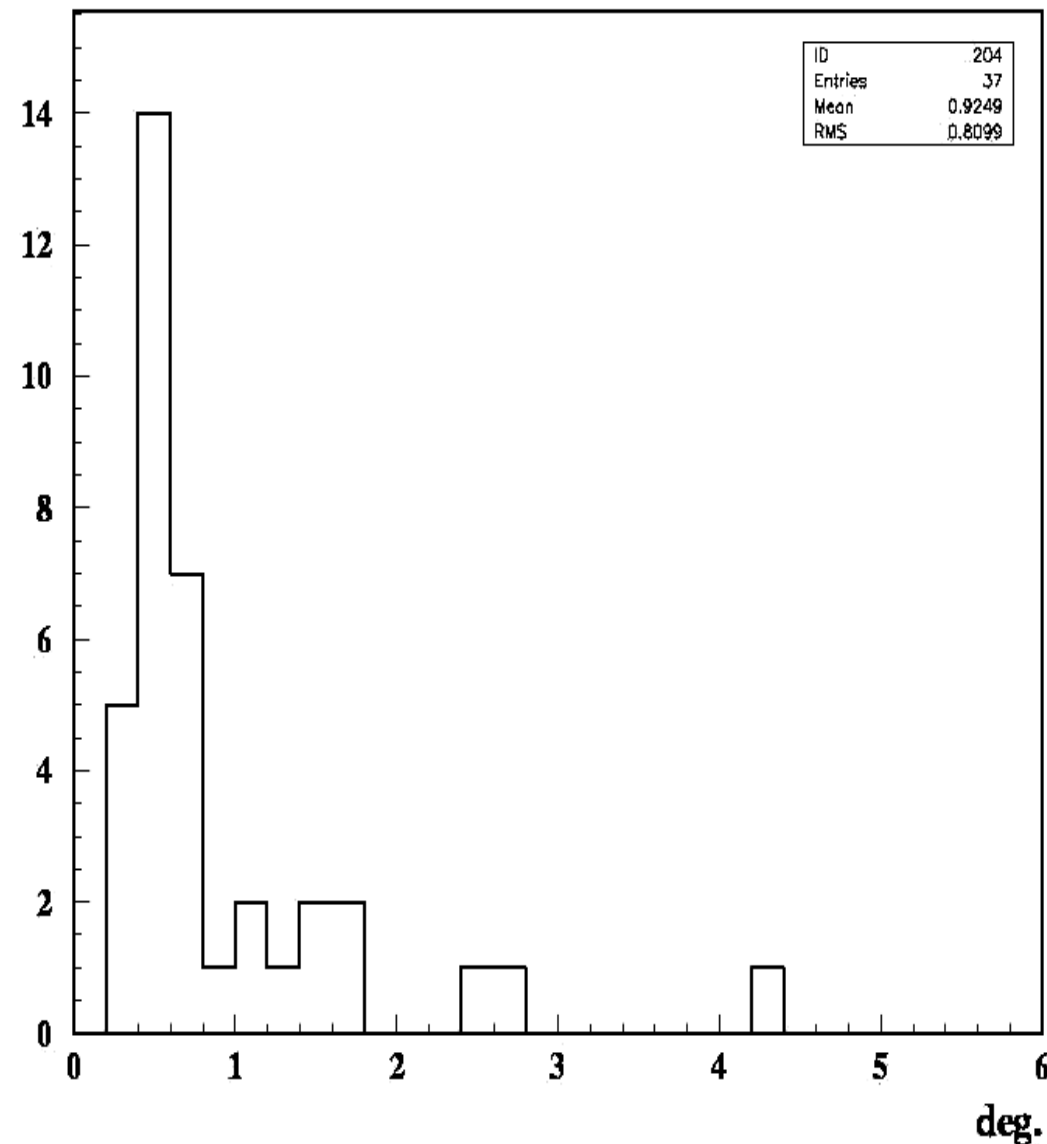
# **Измерение углов**

**Измерены углы вылета вторичных релятивистских частиц относительно первичной частицы – полярный  $\theta$  и азимутальный  $\psi$ .**

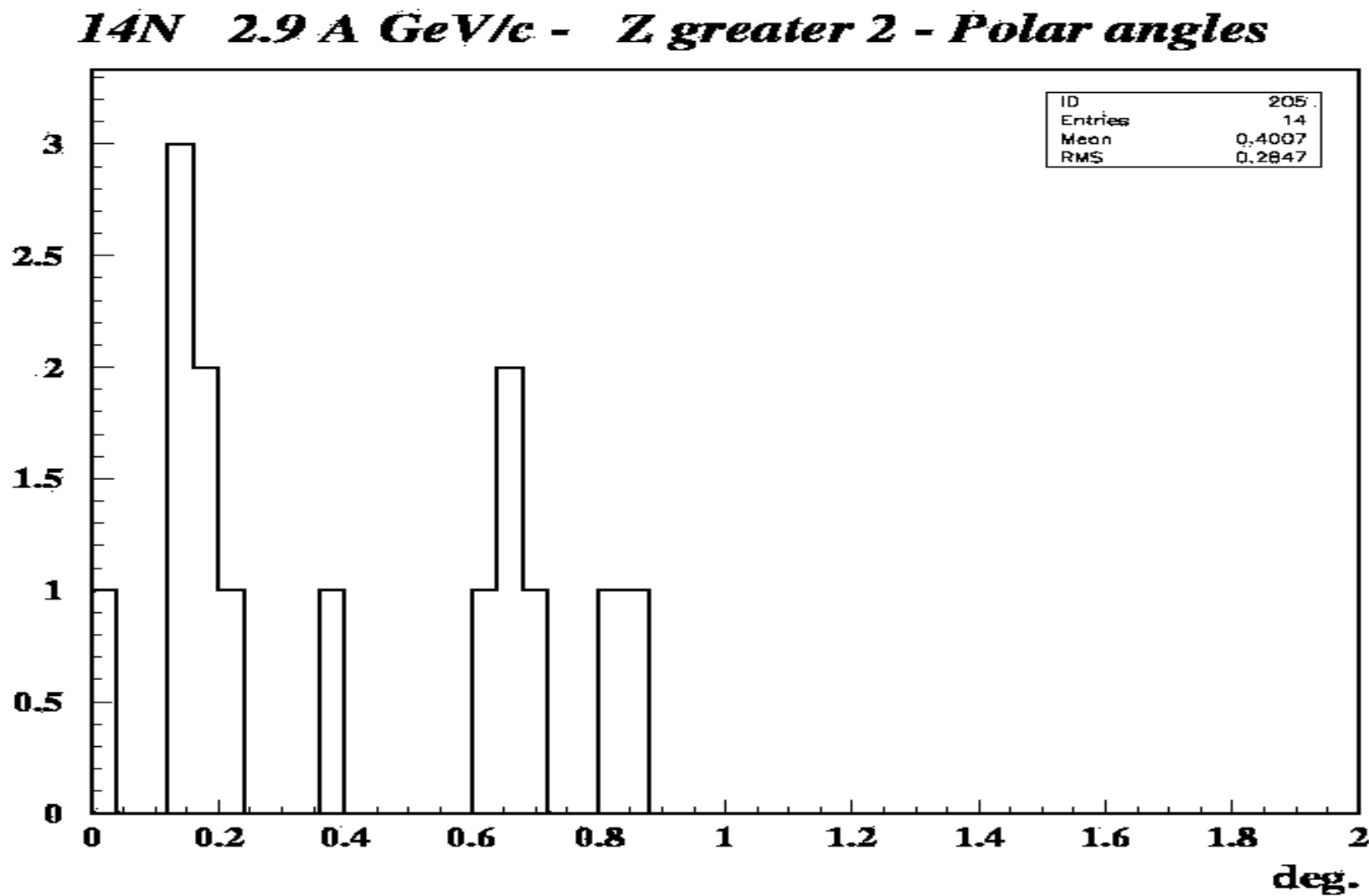
**Целью настоящей работы является обнаружение особенностей угловых спектров при взаимодействии ядер  $^{14}\text{N}$  с ядрами фотоэмulsionии.**

**Распределение по  
полярному углу  
релятивистских  
двуухзарядных  
частиц в  $^{14}\text{N} + \text{Em}$   
взаимодействиях.**

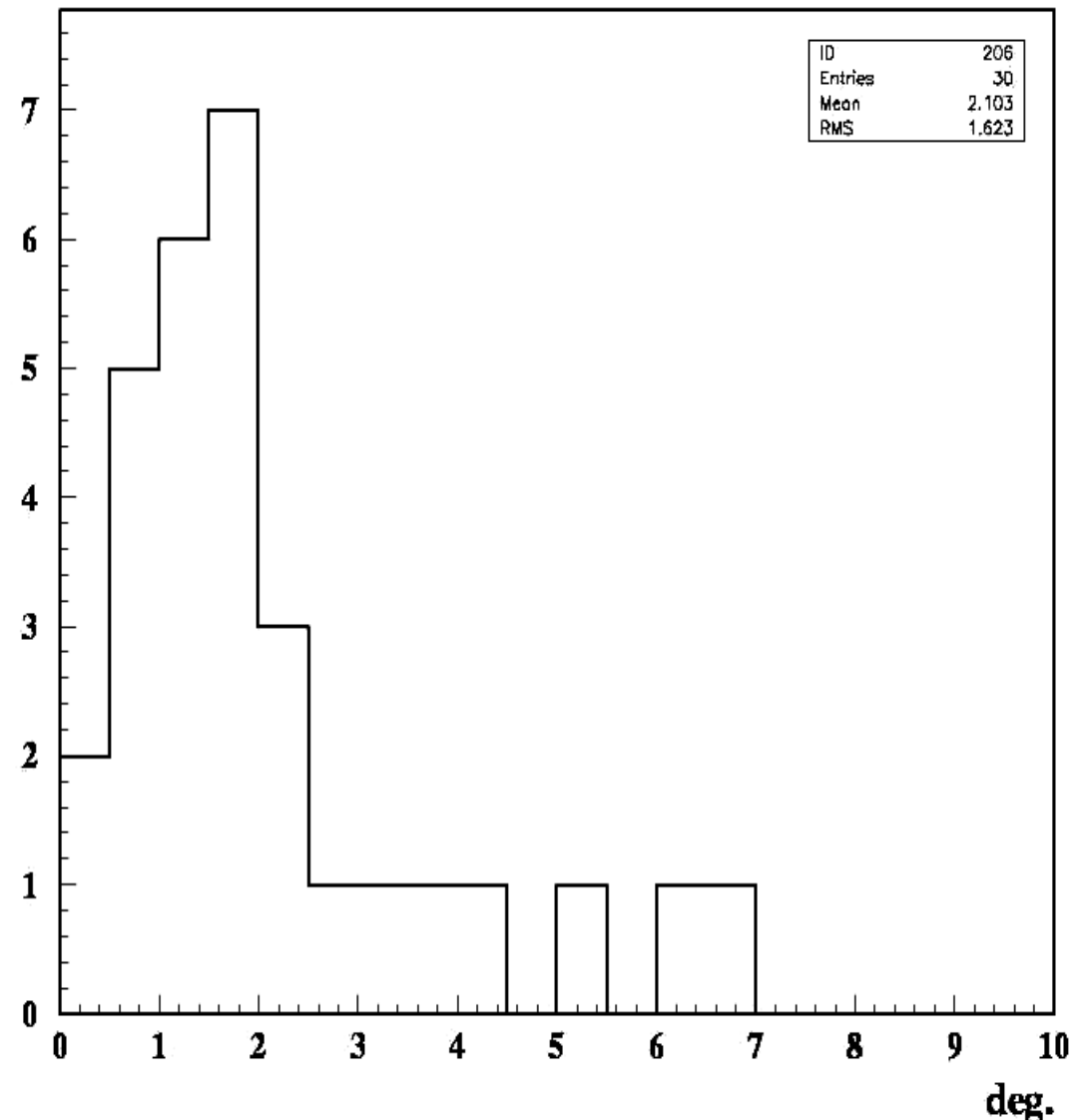
***14N 2.9 A GeV/c - Z=2 Polar angle***



# Распределение по полярному углу релятивистских частиц с $Z > 2$ в $^{14}\text{N} + \text{Em}$ взаимодействиях

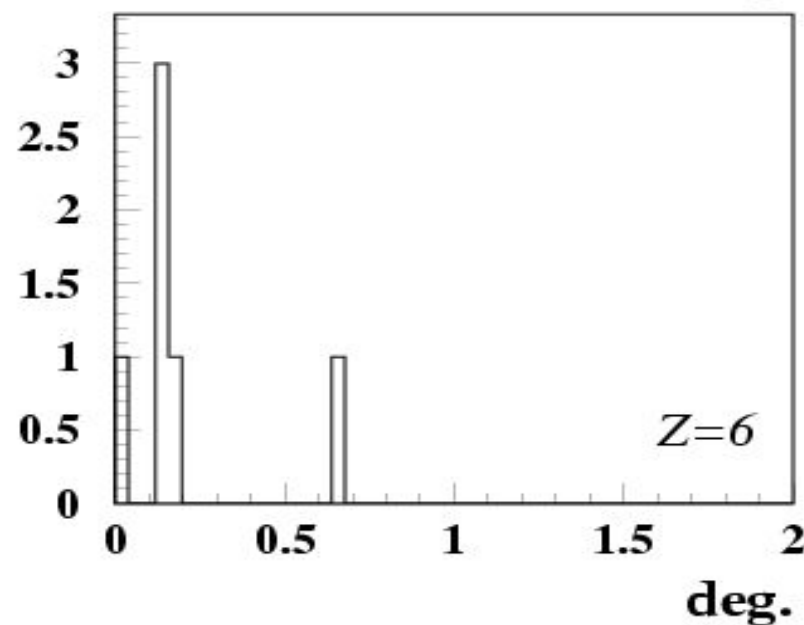
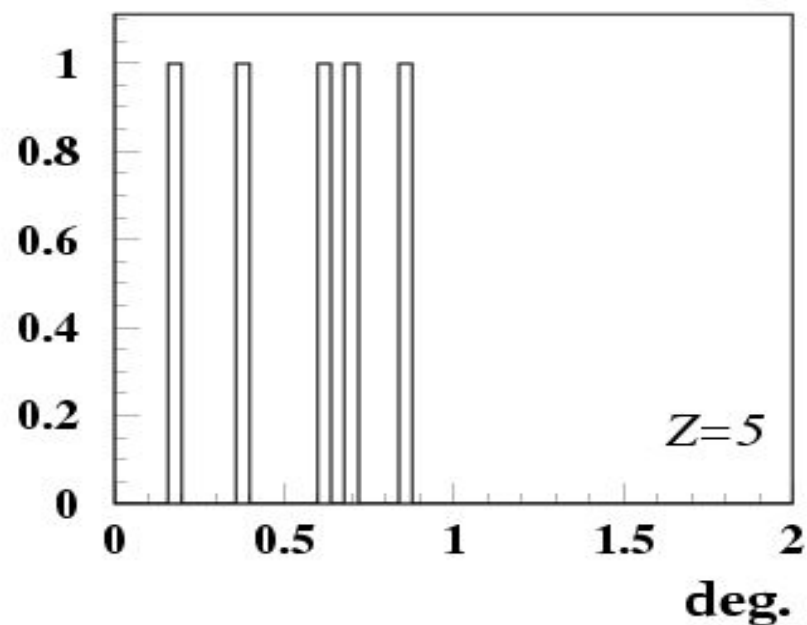
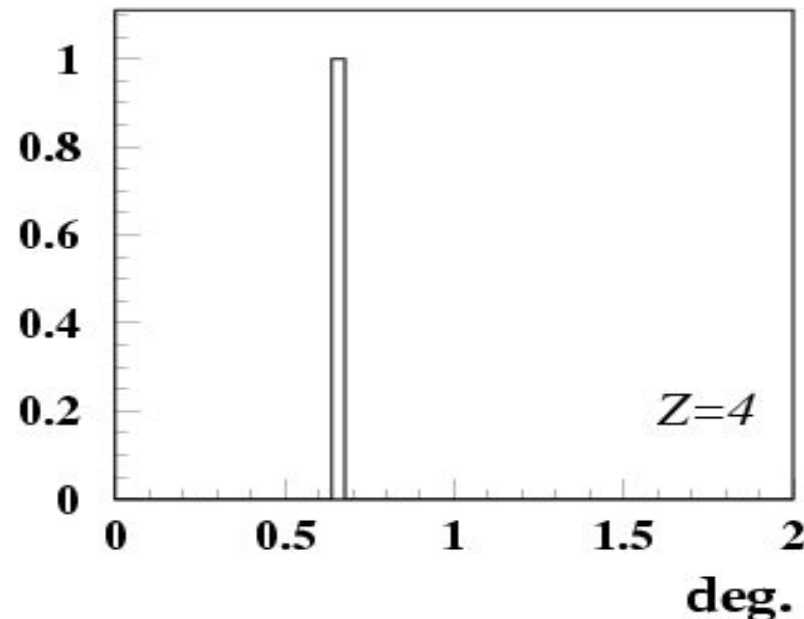
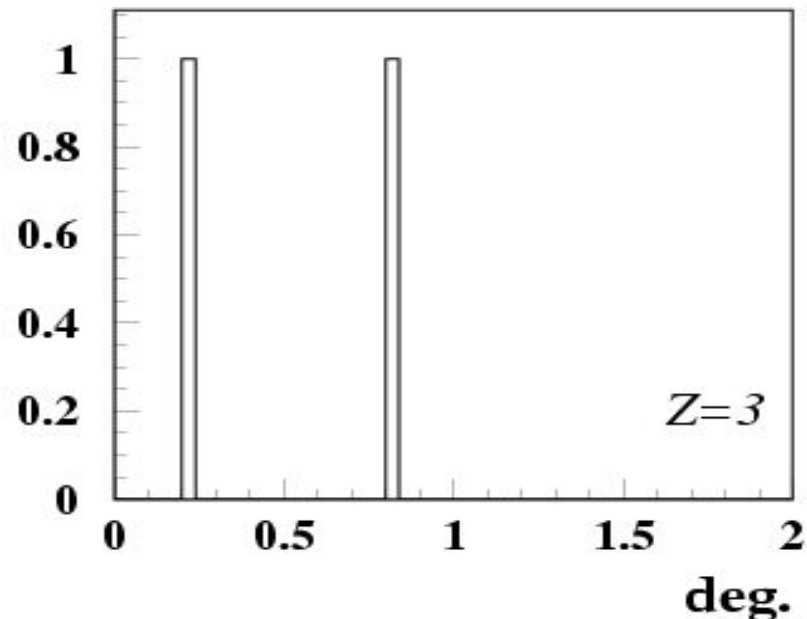


*14N 2.9 A GeV/c - Z=1 Polar angle*

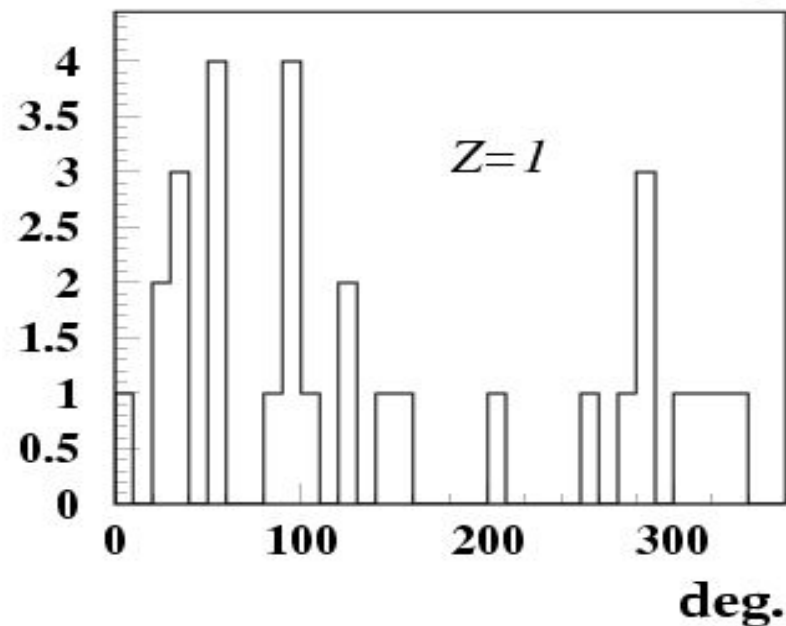
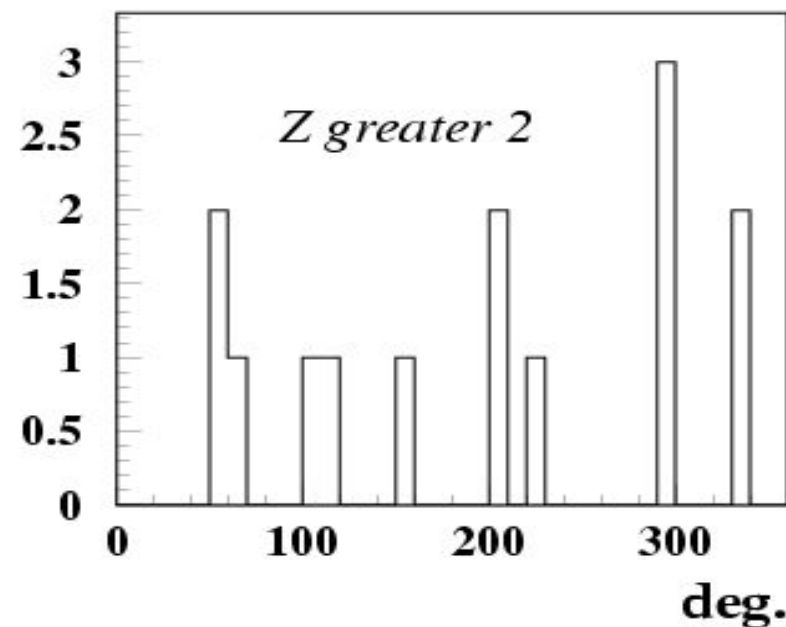
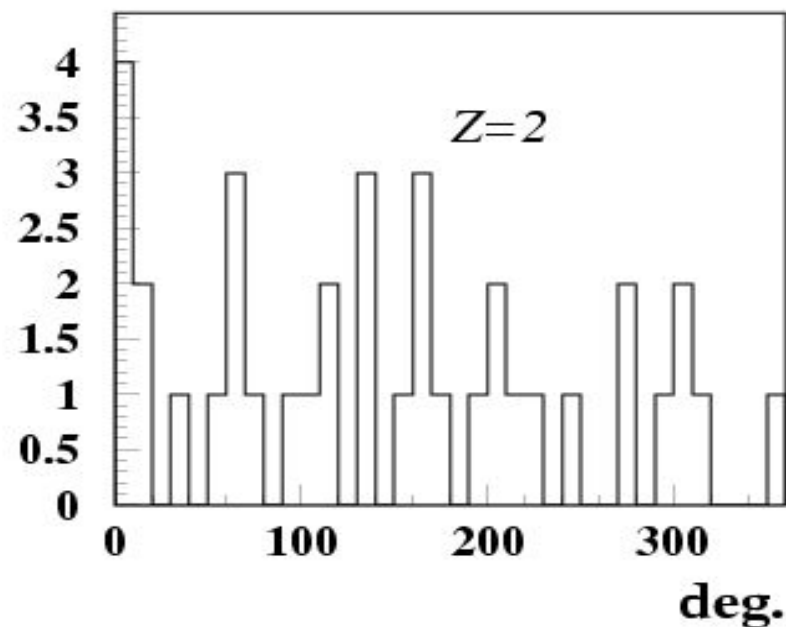


**Распределение по  
полярному углу  
релятивистских  
однозарядных  
частиц в  
 $^{14}\text{N}+\text{Em}$   
взаимодействиях**

***14N 2.9 A GeV/c - Z greater than 2 - Polar angles***

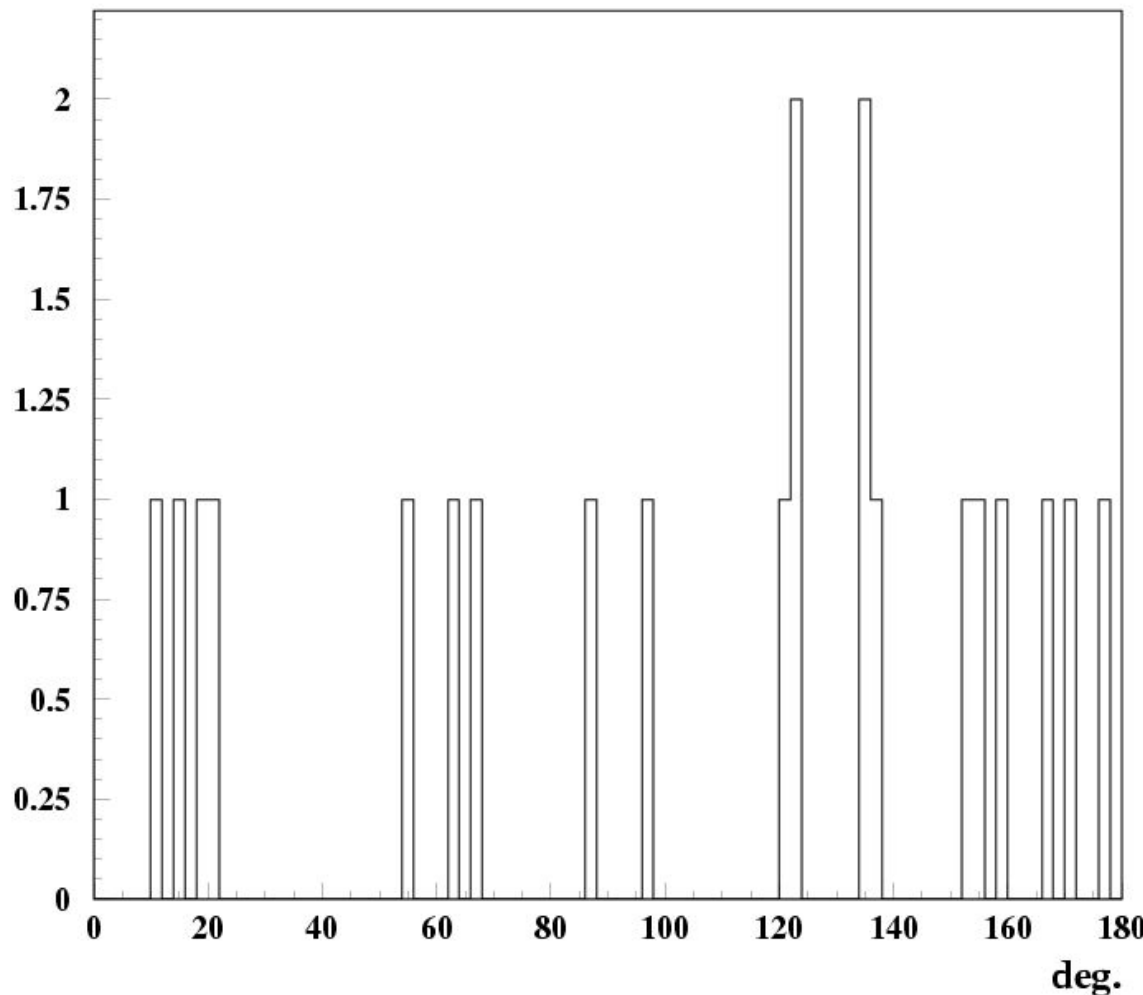


***14N 2.9 A GeV/c - Azimuthal angle***



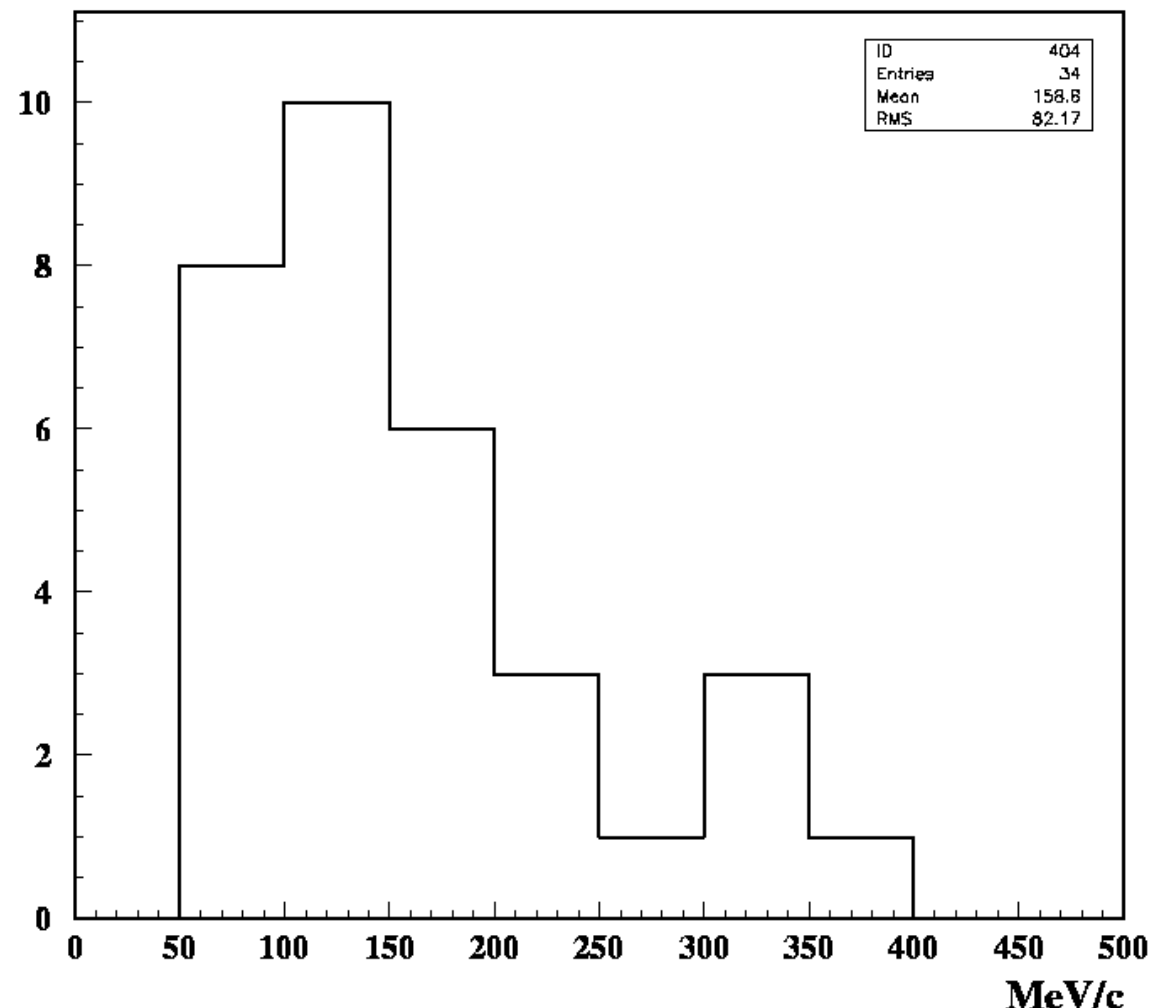
# **Суммарный азимутальный угол для 3 $\alpha$ - частиц**

*14N 2.9 A GeV/c - 3 alpha system - epsilon*



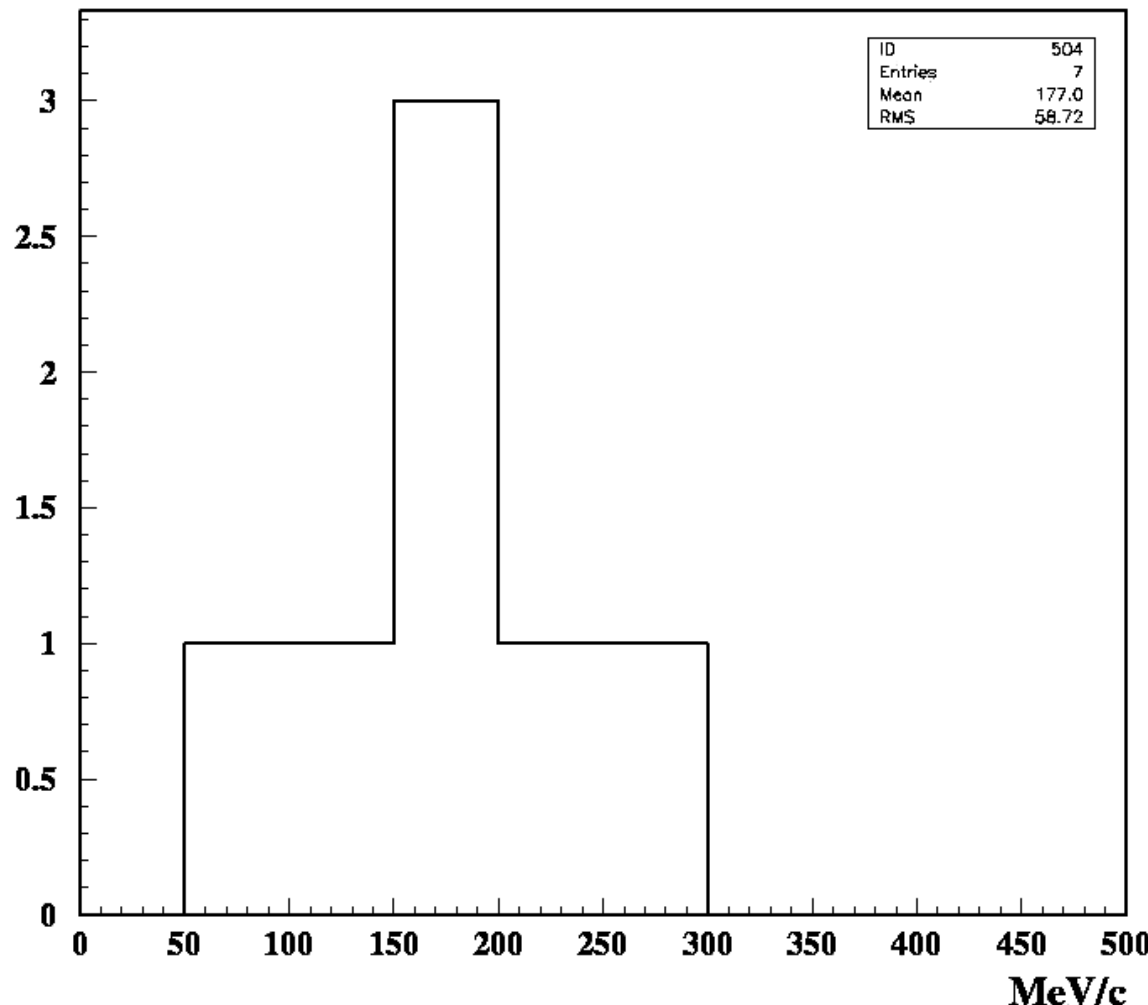
# Распределение по поперечным импульсам $\alpha$ -частиц.

*14N 2.9 A GeV/c - Z=2 - Pt*



# Распределение по поперечным импульсам систем из За-частиц.

*14N 2.9 A GeV/c - 3 alpha system - Pt*



А.М.Балдин:

$$\mathbf{I} + \mathbf{II} \rightarrow 1 + 2 + 3 + \dots$$

Безразмерные положительные релятивистски -  
инвариантные величины:

$$b_{ik} = - (p_i/m_i - p_k/m_k)^2 = 2[(p_i p_k)/m_i m_k - 1] = \\ = 2(u_i u_k - 1)$$

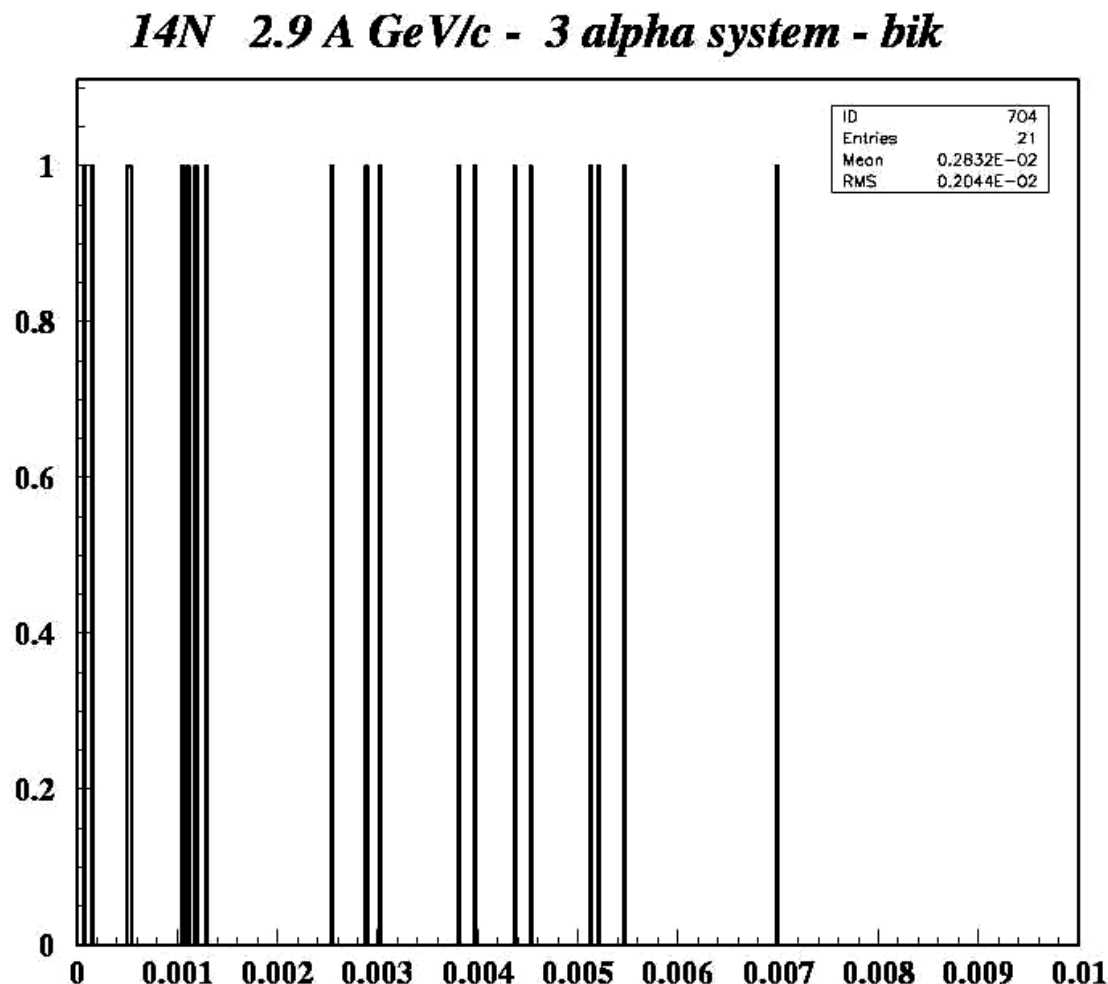
$$i, k = I, II, 1, 2, 3, \dots$$

Физический смысл  $b_{ik}$  – расстояние между  
частицами в пространстве 4- мерных скоростей

# Классификация взаимодействий

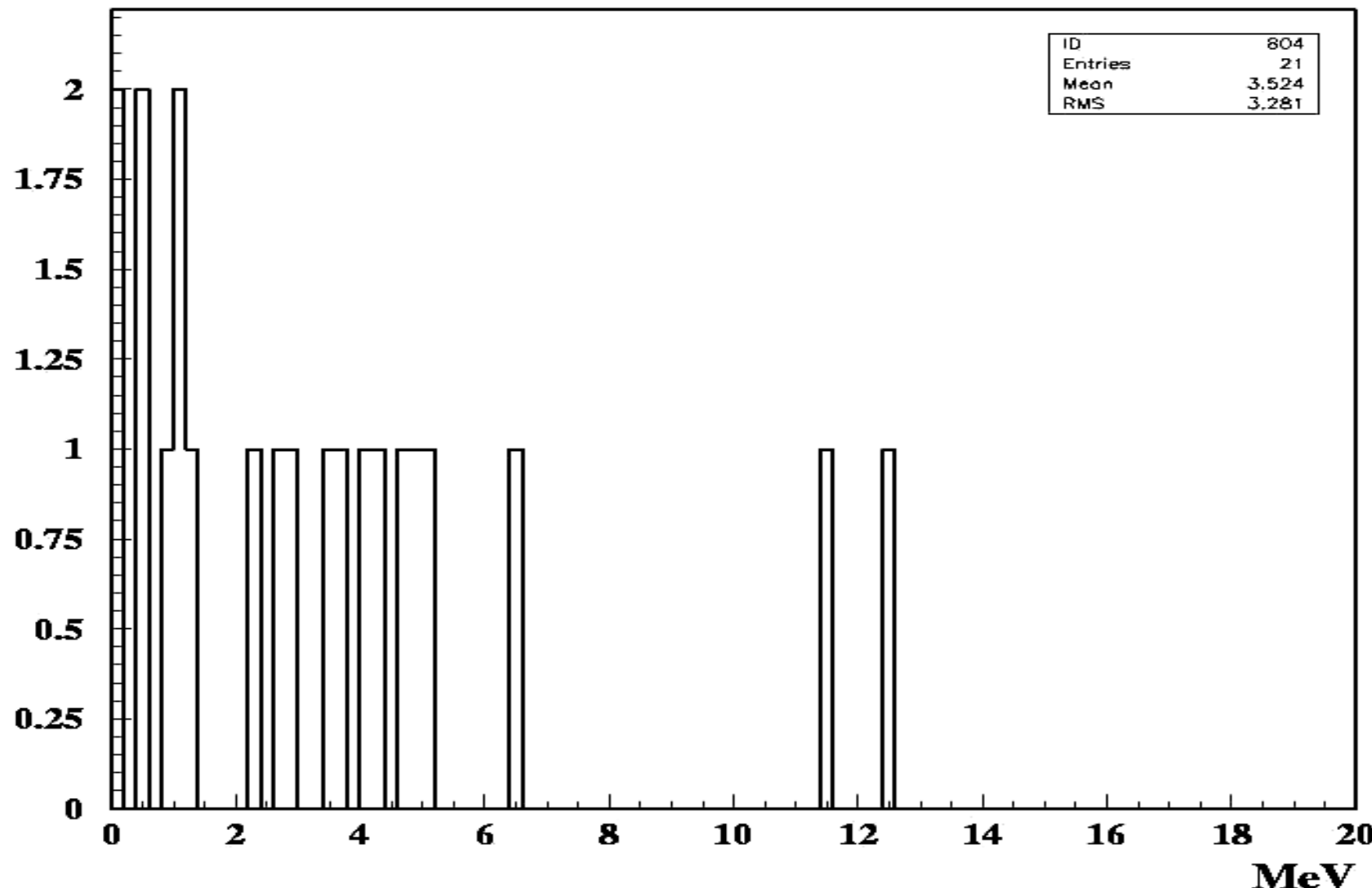
- \*  $b_{ik} \approx 10^{-2}$  область классической ядерной физики соответствует взаимодействию ядер как слабосвязанных систем, состоящих из нуклонов.
- \*  $0,1 < b_{ik} < 1$  промежуточная (переходная) область Кварковые степени свободы начинают играть существенную роль
- \*  $b_{ik} \gg 1$  адроны утрачивают значение квазичастиц ядерной материи и ядра следует рассматривать как кварк-глюонные системы.

# Распределение по $b_{ik}$ в $3\alpha$ системе

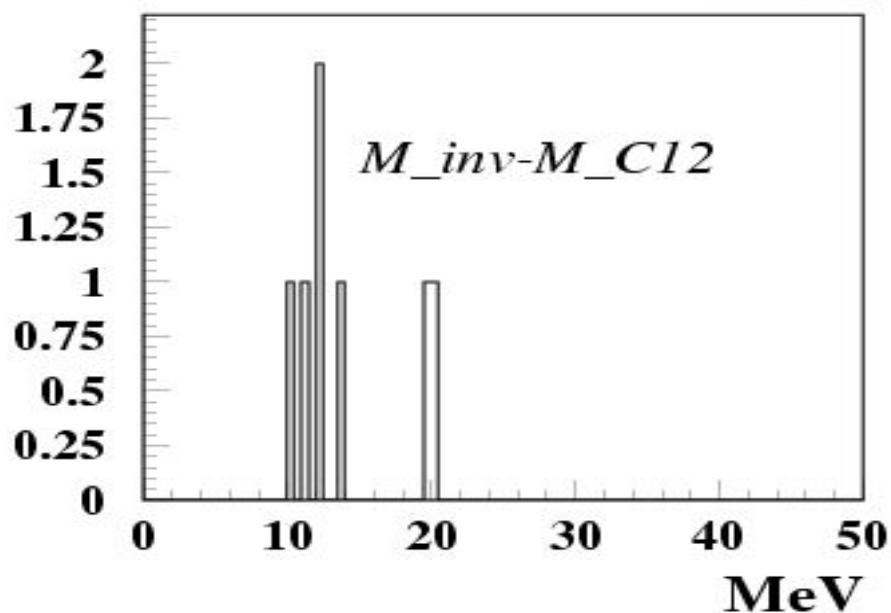
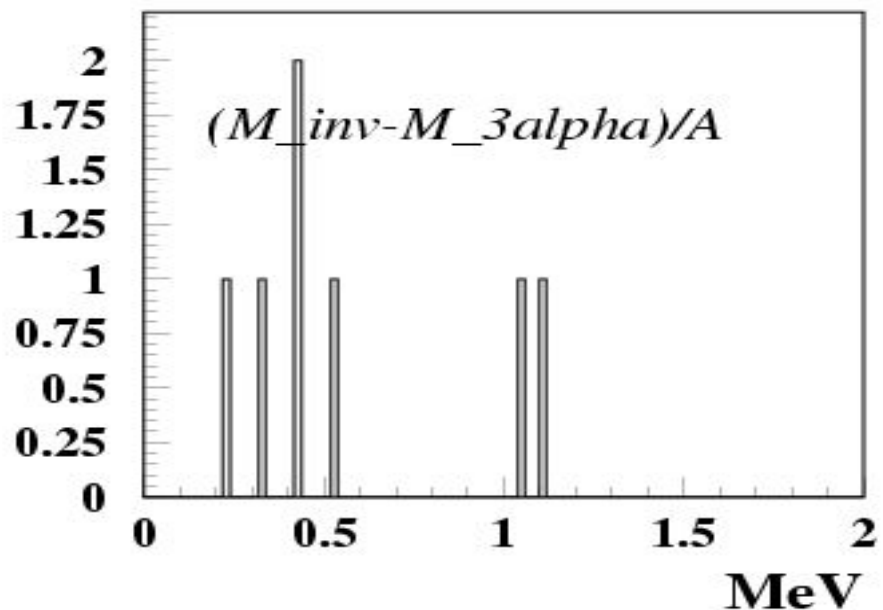
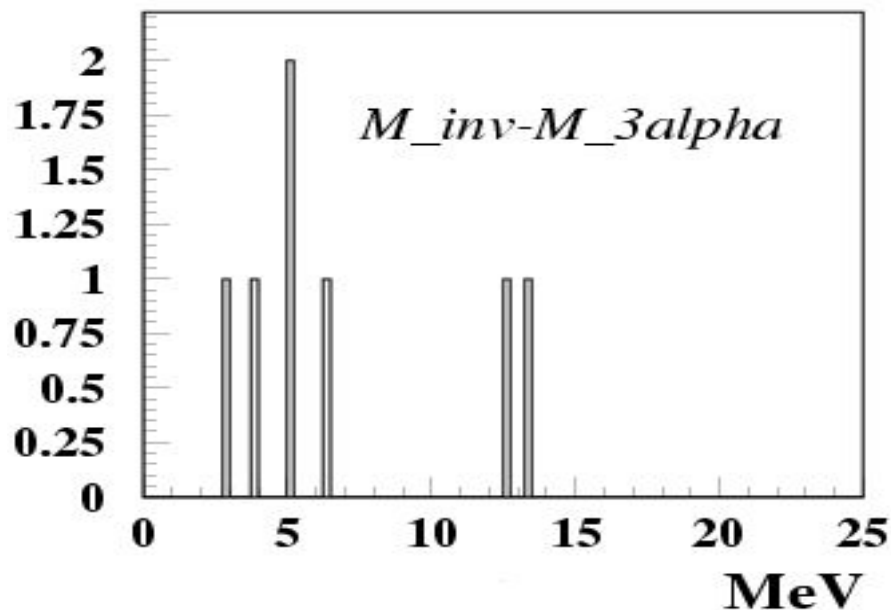


# Инвариантная масса 3- $\alpha$ системы

*14N 2.9 A GeV/c - 3 alpha system - Mik*



***14N 2.9 A GeV/c - 3 alpha system - M<sub>inv</sub>***



# **Выводы**

- 1. Измерены угловые характеристики для вторичных релятивистских частиц.**
- 2. Построены распределения по полярному и азимутальному углам для частиц с зарядом  $Z=1, Z=2, Z=3, Z=4, Z=5, Z=6$ .**
- 3. Из полученных распределений по поперечным импульсам следует, что**  
для  $\alpha$ -частиц  $\langle P_t \rangle = 158,8 \text{ МэВ/с}$ ;  
для систем из  $3\alpha$ -частиц  $\langle P_t \rangle = 177 \text{ МэВ/с}$ .
- 4. Рассчитан параметр  $b_{ik}$  (соответствует области классической ядерной физики) и построено его распределение в  $3\alpha$ -системе.**
- 5. Рассчитана инвариантная масса  $3\alpha$ -системы.**
- 6. Предполагается дальнейшее накопление статистики с целью улучшения оценки погрешностей.**